

فصلنامه علمی- پژوهشی زیست‌شناسی میکروارگانیسم‌ها
سال ششم، شماره 22، تابستان 1396، صفحه 15-25
تاریخ دریافت: 1394/11/03 - تاریخ پذیرش:
1395/08/15

زیست‌سنتر نانومیله‌های اکسید روی به‌وسیله باکتری زانتوموناس کمپستریس

زهارسادات مهدی: کارشناس ارشد مهندسی بیوتکنولوژی، دانشگاه صنعتی نوشیروانی، بابل، ایران، z.mahdi0014@gmail.com
فرید طالب نیا روش: استادیار مهندسی بیوتکنولوژی، دانشگاه صنعتی نوشیروانی، بابل، ایران، f.talebnia@nit.ac.ir
مریم نیک‌زاد: استادیار مهندسی شیمی، دانشگاه صنعتی نوشیروانی، بابل، ایران، m.nikzad@nit.ac.ir
دانشجوی کارشناسی ارشد مهندسی بیوتکنولوژی، دانشگاه صنعتی نوشیروانی، بابل، ایران، s.zamani@nit.ac.ir

چکیده

مقدمه: نانوبلورهای یک بعدی به خصوص نانومیله‌های اکسید روی به‌دلیل خواص و کاربردهای زیادی که پیدا کرده‌اند، امروزه بسیار مورد توجه قرار گرفته‌اند. روش‌های شیمیایی و فیزیکی تولید نانومیله‌های اکسید روی، معمولاً موجب باقی‌ماندن مواد شیمیایی بر روی سطح ذرات می‌شوند و ایجاد سمیت می‌کنند که موجب می‌شود کاربردهای این نانوذره در زمینه‌های بهداشتی و پزشکی محدود گردد؛ درنتیجه سنتر زیستی نانوذرات اکسید روی به عنوان یک فرایند دوستدار محیط زیست و جایگزین روش‌های شیمیایی و فیزیکی مورد توجه قرار گرفه است.

مواد و روش‌ها: نانومیله‌های اکسید روی به‌وسیله باکتری زانتوموناس کمپستریس و سوبسترای نیترات روی ۶ آبه، در pH 7 در شیکر انکوباتور با دمای ۳۷ درجه سانتیگراد تولید شد. پودر حاصل پس از خشک شدن، کلسینه شد. نانوذرات اکسید روی سنتز شده با استفاده از آنالیزهای FTIR، SEM، XRD، FTIR و طیف‌سنجدی UV-VIS بررسی شدند.

نتایج: آنالیز FTIR برای بررسی گروه‌های عاملی استفاده می‌شود. پیک مشاهده شده در ۵۶۳ cm⁻¹ مربوط به ارتعاشات کششی نانوذرات اکسید روی است. نتایج XRD نشان می‌دهد که نانوذرات سنتز شده خالص و با فاز شش‌ضلعی کریستالی هستند. آنالیز SEM که برای بررسی مورفو‌لوژی و سایز نانوذرات است، نشان می‌دهد که نانومیله‌های اکسید روی قطری بین ۲۰۰-۱۲۲ نانومتر با طول متوسط حدود ۳۰۰ نانومتر دارند. آنالیز EDX که برای بررسی عنصر سازنده و خلوص محصول به کار می‌رود؛ نانومیله‌های اکسید روی تولیدی را بدون تشخیص هرگونه ناخالصی نشان داد. حضور نانوذرات اکسید روی در پیک جذب ۳۷۶ نانومتر به‌وسیله طیف‌سنجدی مرئی- فرابنفش نیز تأیید شد.

بحث و نتیجه گیری: در این پژوهش، روشی کم‌هزینه، گزارش نشده، غیرسمی، ساده، مطمئن و دوستدار محیط زیست برای سنتر زیستی نانوذرات اکسید روی با استفاده از باکتری زانتوموناس کمپستریس به عنوان عامل پوشاننده و کاهنده توصیف شده است.

واژه‌های کلیدی: اکسید روی، نانومیله‌ها، زانتوموناس کمپستریس، سنتر زیستی، دوستدار محیط زیست

* نویسنده مسئول مکاتبات

Copyright©2017, University of Isfahan. This is an Open Access article distributed under the terms of the Creative Commons Attribution License (<http://creativecommons.org/licenses/BY-NC-ND/4.0/>), which permits others to download this work and share it with others as long as they credit it, but they cannot change it in any way or use it commercially.

مقدمه

حرارتی، روش شیمیایی مرطوب، روش اسپری پیروولیز، روش میکرو امولسیون، روش رسوب‌گذاری پالس لیزری، روش رسوب شیمیایی فاز بخار (CVD)^۳ و روش میکرو امولسیون برای تولید نانوذرات اکسید روی استفاده شده است. این روش‌ها اغلب شامل فرایند نسبتاً مشکل، حرارت بالا، همراه با استفاده از مواد شیمیایی پرهزینه به عنوان سورفتکتانت، عوامل پوشاننده و تثبیت کننده بهمنظر بھبود شکل و فاز کریستالی هستند (۱۱، ۱۲ و ۱۴). این پیش‌ماده‌های سنتز نانوذرات، غالباً بر سطح ذرات باقی می‌مانند و ایجاد سمیت می‌کنند. با توجه به کاربردهای نانوذرات اکسید روی در بسیاری صنایع، به دست آوردن نانوذراتی که سازگاری بیشتری با محیط زیست و انسان داشته باشند، مد نظر قرار گرفت (۱۰، ۱۱ و ۱۵).

سنتز زیستی یا سنتز سبز نانوذرات یک فرایند دوستدار محیط زیست در زمینه شیمی و تکنولوژی زیستی است که به صورت فرایندهای محبوبیت یافته و می‌تواند به عنوان یک راه حل در رابطه با مشکلات جهانی آلودگی و سمیت در نظر گرفته شود. برای سنتز نانوذرات تاکنون پژوهش‌های زیادی مبنی بر سنتز زیستی با استفاده از عصاره گیاهان (۱۵ و ۱۶)، عصاره میوه (۱۷)، جلبک‌ها (۱۸)، آنزیم (۱۹)، سیانو باکتر (۲۰)، قارچ‌ها (۲۱، ۲۰ و ۲۲) و باکتری‌ها (۷، ۲۳) گزارش شده است.

تولید نانوذرات اکسید روی در سال‌های اخیر، در اندازه‌های متفاوت با سویه‌های مختلف قارچ و باکتری مورد توجه قرار گرفته است. در سال ۲۰۱۳ سلوارجان^۴ به همراه همکارانش، به وسیله باکتری لاکتو‌بی‌سیلوس پلاتاروم نانوذرات اکسید روی در اندازه‌های بسیار کوچک ۷-۹ نانومتر تولید کردند

پیشرفت‌های اخیر در عرصه نانو تکنولوژی، توانایی پژوهشگر را برای ساخت نانوذرات مختلف از جمله نانوذرات فلزی و اکسید فلزی افزایش داده است. با بهره‌گیری از دانش روز می‌توان نانوذرات مهم در علوم پایه‌ای و کاربردی را، در اندازه موردنظر و شکل مناسب برای استفاده در محصولات صنعتی تولید کرد. در میان نیمه‌رساناهای اکسید فلزی، نانوذرات اکسید روی توجه عمیقی را به دلیل ویژگی‌های منحصر به فردی مثل گاف نواری پهن مستقیم^۱ (۳.۳۷ الکترون ولت) و انرژی پیوند اکسایتونی بالا^۲ (۶۰ میلی الکترون ولت) به خود جلب کرده‌اند که سبب شده تا پژوهشگران از خواص این ماده در کاربردهایی نظیر مواد پیزوالکتریک، سلول‌های خورشیدی و حسگرهای فتوئیک استفاده کنند (۱ و ۲). در میان نانو ساختارهای مختلف اکسید روی، نانوبلورهای یک بعدی به خصوص نانومیله‌های اکسید روی محبوبیت زیادی در زمینه علم به دلیل خواص و کاربردهای متنوع کسب کرده‌اند؛ از جمله این خواص و کاربردها این موارد است: فعالیت‌های کاتالیزوری (۳)، سلول‌های خورشیدی (۴)، تصفیه فاضلاب، پردازش لاستیک (۵)، جذب گاز هیدروژن سولفید (۶)، سنسورها، استفاده در مواد آرایشی و بهداشتی به ویژه در کرم‌های سوختگی و ضدآفات بodelil جذب کار آمد امواج A - uv و B - uv (۵)، فعالیت فتو کاتولیستی (۷)، استفاده در صنعت نساجی (۸)، کامپوزیت‌ها (۹)، صنایع غذایی (۱۰)، مواد آنتی‌باکتریال و مواد ضدقارچ (۱۱)، سیستم رهایش دارو به ویژه داروی درمان سرطان (۷ و ۱۲) و استفاده در سیمان‌های دندانی (۱۳). تاکنون روش‌های فیزیکی و شیمیایی زیادی مانند روش سنتز هیدرотرمال، روش سل ژل، روش تجزیه

مواد و روش‌ها

مواد شیمیایی و میکروارگانیسم: در این پژوهش از باکتری زانتوموناس کمپستریس PTCC 1473 خریداری شده از بانک میکروبی ایران برای سنتر استفاده شد. از مواد شیمیایی نیترات روی 6 آبه، گلوگر و سود ساخت شرکت مرک و پیتون، عصاره مخمر و نوترنیت براث شرکت کیولب استفاده شد. برای رشد باکتری از محیط کشت ساده⁷ YEDP با ترکیب 2 درصد گلوگر، 2 درصد پیتون و 1 درصد عصاره مخمر استفاده شد. در تمام مراحل برای ساخت محیط کشت و محلول‌ها و شستشو از آب دی‌بونیزه استفاده شد.

سنتر نانوذره اکسید روی: ابتدا 50 میلی‌لیتر محیط کشت مایع YEDP ساخته شده و در اتوکلاو در دمای 121 درجه سانتیگراد به مدت 15 دقیقه استریل می‌شود، از پلیت‌های کشت جامد خالص، چند کلونی زانتوموناس کمپستریس به محیط کشت مایع YEDP تلقیح شده و سپس به مدت 24 ساعت محیط کشت در شیکرانکوباتور در دمای 28 درجه سانتیگراد و چرخش 130 دور در دقیقه قرار داده می‌شود تا باکتری مورد نظر کاملاً رشد کند. pH محیط کشت بعد از رشد به 4/5 می‌رسد؛ سپس محیط کشت بانوتروینت براث 4 مرتبه رقیق‌سازی می‌شود و برای رشد بیشتر باکتری، محیط کشت به مدت 24 ساعت دیگر در شیکرانکوباتور قرار داده می‌شود. دانسیته نوری محیط کشت باکتری رشد کرده، به‌وسیله دستگاه اسپکتروفوتومتر UV-VIS CHROMTECH ساخت کشور تایوان) در طول موج 600 نانومتر، حدود 0/3 اندازه گیری شد. بعد از گرمخانه گذاری، pH به‌وسیله سود 0/4 مولار روی 7 تنظیم می‌شود. دانستن pH مخلوط واکنش مهم است؛ چرا که نقش مهمی در

(23). سویه‌های مختلف قارچ آسپرژیلوس نیز در چند سال اخیر برای سنتر نانوذرات اکسید روی در گستره اندازه 14-1/2-20 نانومتر استفاده شده‌اند (11، 20 و 24). در سال 2013 پژوهشگر ایرانی، آشنگرف⁸ موفق به سنتر خارج سلولی نانوذرات اکسید روی در اشکال کروی با اندازه‌ای حدود 32 نانومتر توسط سویه قارچی آسپرژیلوس نایجر شد (21).

استفاده از میکروارگانیسم‌ها به عنوان عوامل کاهش‌دهنده و پوشاننده با توجه به مزایایی همچون سادگی، سهولت رشد، دردسترس بودن، انعطاف‌پذیری نسبت به شرایط دمایی و pH و تنوع متابولیکی بالا، موجب می‌شود تا سنتر زیستی روشی قابل اعتماد و کارآمد در این زمینه باشد. هرچند سنتر زیستی نانوذره اکسید روی در دهه اخیر بارها انجام شده، مکانیسم دقیق سنتر هنوز هم بررسی می‌شود و یافتن گونه میکروبی مناسب که قادر به سنتر کافی نانوذرات در سایزهای مختلف و اشکال متفاوت همراه با بازده بالا باشد، هنوز هم یک چالش محسوب می‌شود (7 و 25).

باتوجه به اهمیت روزافزون توسعه روش‌های جدید و سازگار با محیط زیست در تولید نانومواد، سنتر زیستی نانومیله‌های اکسید روی با استفاده از باکتری گرم‌منفی زانتوموناس کمپستریس⁹ در این پژوهش برای نخستین بار گزارش می‌شود. باکتری زانتوموناس کمپستریس یک پاتوژن گیاهی است؛ ولی در صنعت به‌دلیل تولید صمغ زانتان بسیار مورد توجه قرار گرفته است. صمغ زانتان یک پلی‌ساقارید مهم است که در صنایع غذایی و بهداشتی کاربرد بسیار دارد (26). تولید نانومیله‌های اکسید روی به‌وسیله باکتری زانتوموناس کمپستریس یک روش ساده، کم‌هزینه، مطمئن و سازگار با محیط زیست است.

سفیدرنگ مشاهده شده در ارلن محیط کشت و نمک موردنظر در این آزمایش بود. ارلن از حمام آب گرم خارج می‌شود و سپس به مدت 24 ساعت در دمای 37 درجه سانتیگراد و چرخش 130 دور در دقیقه در شیکر انکوباتور قرار گذاشته می‌شود تا تمام نانوذرات شروع به رسوب کنند. محصول حاصل در چرخش 3400 دور در دقیقه به مدت 10 دقیقه سانتریفیوژ شده و سپس 3 بار با آب دی‌یونیزه شستشو داده می‌شود. بعد از آن رسوبات حاصل در دمای 45 درجه سانتیگراد در آون خشک می‌گردد. پودر حاصل در دمای 600 درجه سانتیگراد به مدت 2 ساعت به منظور حذف بقایای باکتری و مواد آلی کلسانینه می‌شود (5 و 23).

پروسه ستتر و کنترل شکل و اندازه نانوذرات ایفا می‌کند (5 و 23). 10 میلی لیتر محلول نیترات روی 0/1 مولار تهیه و استریل می‌شود؛ سپس به 50 میلی لیتر محیط کشت باکتری اضافه می‌گردد. محلول حاصل در حمام آب گرم 80 درجه سانتیگراد به مدت 10 – 5 دقیقه حرارت داده می‌شود، در طی حرارت دادن رسوب سفیدرنگی در انتهای ارلن ظاهر می‌شود و این نشان‌دهنده آغاز تولید نانوذرات اکسید روی است (شکل 1). محیط کشت باکتری بدون محلول نمکی به عنوان کنترل مثبت و محلول نمکی نیترات روی بدون محیط کشت باکتری به عنوان کنترل منفی در شرایط یکسان آزمایش و حرارت دهی شد که قادر رسوب



شکل 1- رسوب تشکیل شده حین حرارت دادن محیط کشت باکتری همراه با محلول نمکی

سنجهش شد. به منظور آماده‌سازی نمونه برای این آنالیز پودر حاصل با پتاسیم بروماید به نسبت 1 به 100 مخلوط می‌شود و سپس پودر نرم شده جهت قرار گیری در دستگاه به صورت قرص در آورده شده و در مسیر پرتو برای سنجهش قرار می‌گیرد.

آنالیز طیف سنج پراش اشعه ایکس⁹ (Dستگاه Advance D8 Bruker مدل 400 cm⁻¹ با میانگین 16 اسکن و رزولوشن 4

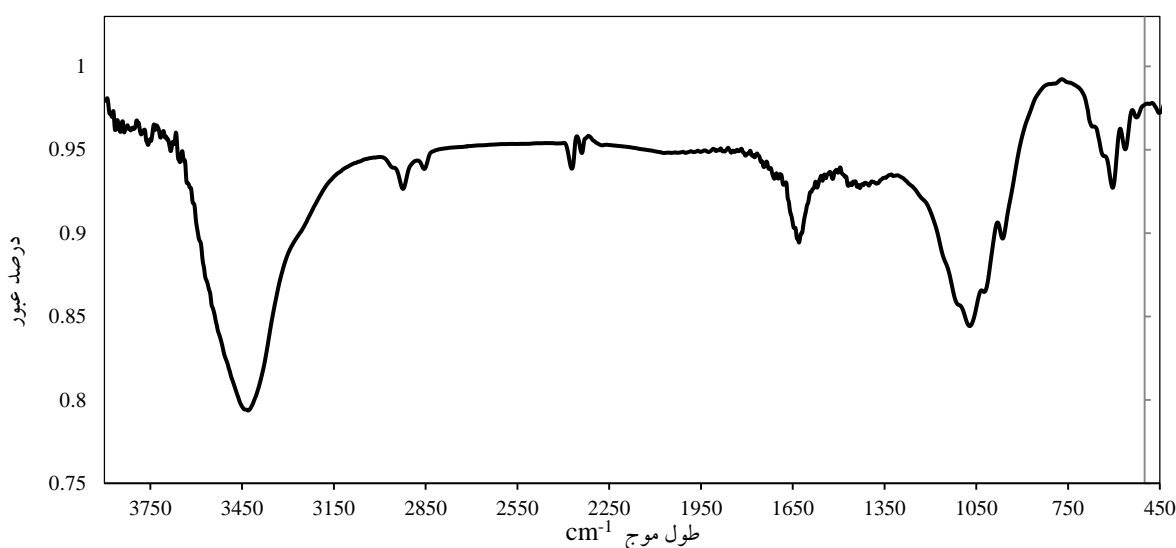
مشخصه‌یابی نانوذرات اکسید روی تشکیل شده: برای شناسایی نانوذرات اکسید روی ساخته شده، از آنالیزهای متفاوتی استفاده می‌شود تا سنتز این نانوذره را تأیید کند. پودر حاصل به وسیله آنالیز اسپکتروسکوپی مادون قرمز با تبدیل فوریه⁸ (FTIR) (Dستگاه Bruker مدل 27 Tensor ساخت کشور آلمان) به منظور شناخت پیوندها، گروههای عاملی درگیر، در محدوده طیف بین 4000 – 400 cm⁻¹ با میانگین 16 اسکن و رزولوشن 4

آنالیز FTIR برای دستیابی به جزئیات گروه‌های عاملی در گیر سنتر زیستی نانوذرات اکسید روی است شکل 2 آنالیز FTIR نمونه رسوب تولید شده توسط باکتری زانتوموناس کمپستریس را نشان می‌دهد که پیک‌های برجسته‌ای در 3431، 3431، 2372، 2924، 2340، 1630، 1072 و 1072 cm⁻¹ مربوط به حالت کشش متقارن در 3431 و 1072 cm⁻¹ مربوط به ارتعاشات گروه عاملی O-H است (5 و 10). وجود این پیک‌ها نشان‌دهنده جذب رطوبت از محیط اطراف بر روی نانوذرات است. پیک 2924 cm⁻¹ مربوط به لرزش‌های کششی گروه عاملی C-H (10) و پیک‌های 2372-2340 cm⁻¹ مربوط به ارتعاشات گروه‌های کربوکسیل است. پنهانی 1630 cm⁻¹ لرزش‌های گروه‌های عاملی H-N و C=C را نشان می‌دهد که می‌توانند مربوط به گروه‌های آمید 1 و وینیل باشند (3 و 10). پیک برجسته 1072 cm⁻¹ هم مربوط به لرزش‌های گروه عاملی O-H است (5). وجود پیک‌های ذکر شده ممکن است به دلیل وجود اجزای باقیمانده از مواد آلی و پروتئین‌هادر ساختار کریستالی نانوذره و یا بخشی از آن در اثر جذب موادی همچون آب و دی‌اکسید کربن از محیط بر روی سطح نانوذره باشد. در مراجع مختلف، لرزش‌های Zn-O (اکسید فلزی) در بازه 600-400 cm⁻¹ گزارش شده است (5 و 7)؛ بنابراین پیک مشاهده شده در 1563 cm⁻¹ متناظر با لرزش کششی نانوذرات اکسید روی است (11). نتایج حاصل از طیف‌سنجی FTIR احتمال حضور گروه‌های عاملی مربوط به پروتئین‌ها را تأیید می‌کنند. براساس نتایج پژوهش‌های قبل، نقش این پروتئین‌ها این است که نانوذرات اکسید روی را ثابت کنند و باعث جلوگیری از بهم چسبیدن و آگلومرشن آنها شوند (10).

1/5406 آنگستروم در 35 کیلوولت و 35 میلی‌آمپر در رنج زاویه برآگ، $2\theta < 80^\circ$ به منظور تعیین فازها، تشخیص ساختار کریستالی ماده انجام شد. پودر تولید شده با آنالیزهای میکروسکوپ الکترونی روشی SEM¹¹، طیف‌سنجی پراش انرژی پرتو ایکس EDX¹¹ (دستگاه Zeiss sigma vp ساخت کشور آلمان) سنجش شد. آنالیز SEM به منظور بررسی شکل، ساختار و سایز نانوذرات و آنالیز EDX برای تعیین عناصر تشکیل‌دهنده و خلوص نمونه است. خواص نوری نانوذرات اکسید روی تولیدی به وسیله طیف‌سنجی-UV-VIS¹² (UVD-3200LABOMED امریکا) بررسی شد. به این منظور ابتدا پودر تولیدی در آب دیونیزه به وسیله دستگاه اولتراسونیک به طور یکنواخت پراکنده شد؛ سپس پودر سنتز شده بر حسب میزان طیف جذب در طول موج 800-200 نانومتر شناسایی شد.

نتایج

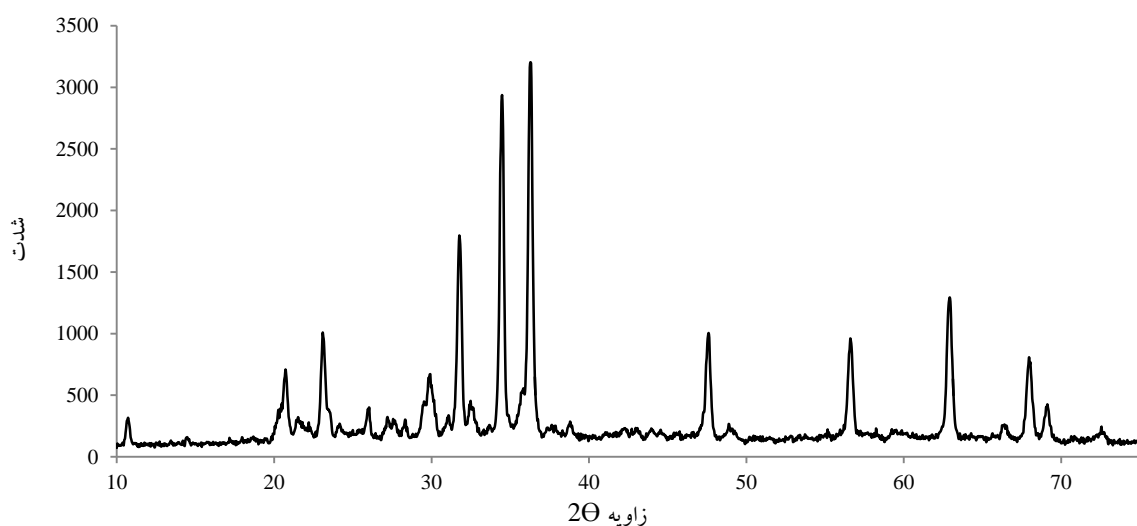
زیست-سنتز نانوذرات اکسید روی مطابق روش ذکر شده در قسمت مواد روش‌ها همراه با آزمایشات کنترل انجام شد. آزمایشات کنترل با استفاده از محلول نمکی بدون حضور میکروراگانیسم و نیز محیط میکروبی بدون حضور محلول نمکی در شرایط یکسان انجام گرفت ولی منجر به تولید رسوب نشد؛ اما در آزمایش اصلی همان‌گونه که در شکل 1 مشاهده می‌شود رسوب سفیدرنگ در انتهای ارلن بیان کننده تشکیل نانوذرات اکسید روی است. برای تأیید این موضوع آنالیزهای XRD، FTIR و EDX انجام گرفت که نتایج آن به شرح زیر است:



شکل 2- نمودار FTIR نانومیله‌های اکسید روی سنتز شده توسط زانتوموناس کمپستریس

JCPDS 36- مطابقت دارد. همه خطوط پراش گویای سنتز خالص نانوذره اکسید روی با ساختار هگزاگونال (ورتزیت)^{۱۳} است. هیچ پیکی ناخالصی و یا وجود فاز دیگری غیر از اکسید روی را بیان نمی‌کند. درواقع به وسیله آنالیز XRD خالص بودن و تبلور نانوذرات اکسید روی نشان داده شده است (۲۷ و ۲۸).

شکل 3 الگوی XRD پودر سنتز شده نانومیله‌های اکسید روی را نمایش می‌دهد. نانوذرات کریستالی اکسید روی در سطوح (001)، (002)، (101)، (102)، (103)، (110)، (200)، (101)، (112)، (201)، (004) و (202) پیک‌هایی را نشان می‌دهند که با داده‌های کریستالوگرافی استاندارد الگوی مرجع 1451



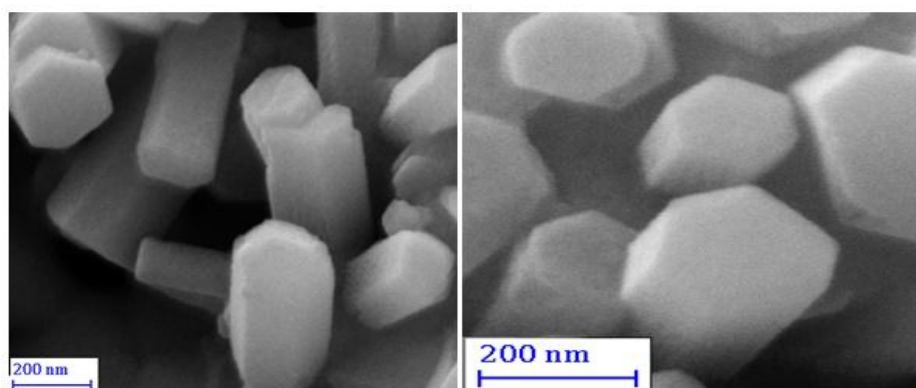
شکل 3- نمودار XRD نانومیله‌های اکسید روی سنتز شده توسط زانتوموناس کمپستریس

پوشش دهی پودر اکسید روی بر روی نوار چسب‌های طلا به منظور انجام آنالیز است. مقدار روی موجود در پودر سنتز شده ۷۶/۵ درصد و اکسیژن ۲۳/۵ درصد است و تأیید می‌کند که نانوذرات تولید شده خالص است و اثری از ناخالصی عناصر دیگر در آن وجود ندارد (۱۰) و (۲۴).

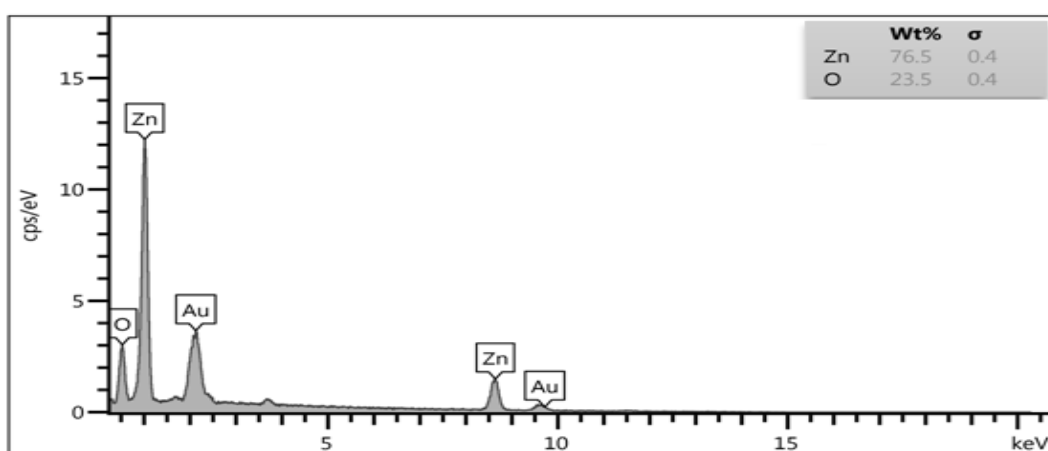
طیف سنجی مرئی - فرابنفش (UV-VIS) پودر سنتز شده در شکل ۶ نشان داده شده است؛ همان‌طور که در شکل قابل توجه است، پیک جذب برجسته و مشخصی در ۳۷۶ نانومتر مشاهده می‌شود که در راستای نتایج دیگر (۳) بیان کننده حضور نانوذرات اکسید روی است.

آنالیز SEM به منظور بررسی مورفولوژی و سایز نانوذرات است. شکل ۴ تصاویر SEM نانوذرات اکسید روی سنتز شده توسط زانتوموناس کمپستریس را نشان می‌دهد که همان‌طور که در تصویر مشخص است، مورفولوژی نانوذرات تولید شده به صورت کریستال‌های میله‌ای شکل به طول تقریبی ۳۰۰ نانومتر است. قطر سطح مقطع شش گوشۀ این نانوذرات بین ۲۰۰ - ۱۲۲ نانومتر با میانگین تقریبی ۱۶۳ نانومتر است (۲۸).

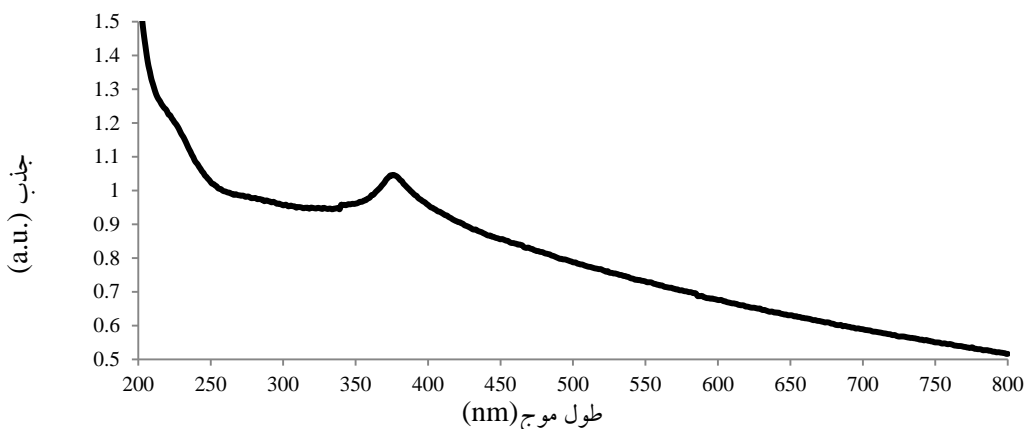
شکل ۵ آنالیز EDX را نشان می‌دهد که مربوط به بررسی عناصر تشکیل‌دهنده و خلوص محصول است. پیک‌های نشان‌داده شده مربوط به عناصر روی، اکسیژن و طلا است که طلای به کاربرده شده مربوط به آماده‌سازی نمونه برای آنالیز SEM و EDX و



شکل ۴- تصاویر SEM نانو میله‌های اکسید روی بوسیلهٔ زانتوموناس کمپستریس



شکل ۵- نمودار EDX نانومیله‌های اکسید روی توسط زانتوموناس کمپستریس



شکل 6- طیف‌سنجی مرئی- فرابنفش نانومیله‌های اکسید روی توسط زانتمونناس کمپیستریس

میانگین قطر 163 نانومتر و طول تقریبی 300 نانومتر به وسیله باکتری گرم منفی زانتمونناس کمپیستریس گزارش شده است.

روشن است که باکتری زانتمونناس کمپیستریس نقش کلیدی در شکل‌گیری نانومیله‌های اکسید روی دارد و این به این دلیل است که سطح باکتری‌ها پتانسیل الکتریکی منفی دارند که به آسانی می‌توانند کاتیون‌ها را جذب کنند و باعث سنتز نانوذرات شوند. تغییر رنگ محیط کشت بعد از 24 ساعت در واقع بیان کننده کاهش یون‌های نیترات روی به‌دلیل پروتئین‌های حاضر در محیط مایع است که شکل‌گیری دانه‌های سفیدرنگ FTIR نانوذرات اکسید روی را نتیجه می‌دهد. آنالیز گروه‌های عاملی را نشان می‌دهد که در فرایند سنتز نانوذرات اکسید روی نقش احتمالی دارند. همه این گروه‌های عاملی در ساختار پروتئین‌های غشایی موجود هستند. چنین فرض می‌شود که مولکول‌های پروتئین موجود در محیط آبی حالت پوشاننده و ثبیت کننده در سنتز نانوذرات اکسید روی دارد و از آگلومره‌شدن و تجمع نانوذرات جلوگیری می‌کند (10). البته گفتی است که گرچه سنتز زیستی نانومواد از جمله اکسید روی

بحث و نتیجه‌گیری

در سال‌های اخیر، در میان تولید نانوذرات اکسید روی به وسیله میکرووارگانیسم‌ها، بیشتر گزارش‌ها مبنی بر تولید نانوذرات اکسید روی هستند؛ ازین‌رو تولید اکسید روی به‌شکل نانومیله‌ها به‌دلیل کاربرد آن در صنایع الکترونیک می‌تواند اهمیت زیادی داشته باشد. با توجه به نتایج آنالیزهای گفته شده، سنتز نانومیله‌های اکسید روی با فاز هگزاگونال ورتیزیت به وسیله باکتری زانتمونناس کمپیستریس برای اولین بار گزارش شد. پیش‌تر باکتری زانتمونناس کمپیستریس به دلیل تولید صفحه زانتان بسیار در صنعت مورد توجه قرار گرفته است. این نکته گفتگی است که صفحه زانتان تولیدی به عنوان عامل ثبیت کننده و کاهنده برای تولید نانوذرات پالادیم و طلا و حتی به عنوان عامل ثبیت کننده و پلیمریزاسیون برای ساخت کامپوزیت اکسید روی استفاده شده است و عوامل مؤثر در فرایند مانند دما، زمان واکنش، غلظت زانتان، pH و... ارزیابی شده‌اند (۲۹، ۳۰ و ۳۱). در واقع در این پژوهش، یک روش سنتز ارزان، غیرسمی، دوستدار محیط زیست و در دسترس برای تولید نانومیله‌های اکسید روی با سایز

- Biomolecular Spectroscopy* 2012; 90: 78-84.
- (4) Lima FA., Vasconcelos I., Lira-Cantu M. Electrochemically synthesized mesoporous thin films of ZnO for highly efficient dye sensitized solar cells. *Ceramics International* 2015; 41(8): 9314-9320.
- (5) Singh G., Babele PK., Kumar A., Srivastava A., Sinha RP., Tyagi MB. Synthesis of ZnO nanoparticles using the cell extract of the cyanobacterium, *Anabaena* strain L31 and its conjugation with UV-B absorbing compound shinorine. *Journal of Photochemistry and Photobiology B: Biology* 2014; 138: 55-62.
- (6) Prasad K., Jha AK. ZnO nanoparticles: synthesis and adsorption study. *Natural Science* 2009; 1(2): 129-135.
- (7) Kundu D., Hazra C., Chatterjee A., Chaudhari A., Mishra S. Extracellular biosynthesis of zinc oxide nanoparticles using *Rhodococcus pyridinivorans* NT2: Multifunctional textile finishing, biosafety evaluation and in vitro drug delivery in colon carcinoma. *Journal of Photochemistry and Photobiology B: Biology* 2014; 140: 194-204.
- (8) Lim ZH, Chia ZX, Kevin M, Wong AS, Ho GW. A facile approach towards ZnO nanorods conductive textile for room temperature multifunctional sensors. *Sensors and Actuators B: Chemical* 2010; 151(1): 121-126.
- (9) Kim D., Jeon K., Lee Y., Seo J., Seo K., Han H., et al. Preparation and characterization of UV-cured polyurethane acrylate/ZnO nanocomposite films based on surface modified ZnO. *Progress in organic coatings* 2012; 74(3): 435-442.

روشی نوین است و مزایای بسیاری دارد، بسیاری از جنبه‌های آن هنوز بدقت شناسایی و بررسی است. با توجه به پژوهش‌های پیشین می‌توان گفت که پارامترها و عوامل زیادی شامل ترکیب محیط کشت، قدرت یونی، pH محیط کشت، سوبستراط استفاده شده، زمان و دمای حرارت دادن محلول در حمام آب گرم، پتانسیل کلی اکسایش و کاهش می‌توانند در زیست-سنتز نانوذرات مؤثر باشند (۶، ۱۱ و ۲۳). میزان pH همراه با عواملی نظیر دما و محیط کشت سلولی ممکن است بر سرعت تولید نانوذره، اندازه ذرات مت蟠کله و مورفوژی آن مؤثر باشند و تا اندازه‌های به عنوان عوامل کنترل‌کننده در نظر گرفته شوند. البته نوع و میزان تأثیر بسته به نوع میکرorganیسم و اینکه نانوذره به صورت داخل یا خارج سلولی تولید شود، می‌تواند متفاوت باشد (۳۲). با توجه به اینکه بسیاری از جنبه‌های این تأثیرات هنوز به طور کامل شناسایی نشده‌اند، به بررسی دقیق‌تر و پژوهش‌های بیشتری در این زمینه نیاز است.

References

- Zhao X., Li M., Lou X. Sol-gel assisted hydrothermal synthesis of ZnO microstructures: Morphology control and photocatalytic activity. *Advanced Powder Technology* 2014; 25(1): 372-378.
- Panwar RS. Preparation of modified ZnO nanoparticles by sol-gel process and their characterization [Dissertation]. Patiala: Thapar University; 2009.
- Jayaseelan C., Rahuman AA., Kirthi AV., Marimuthu S., Santhoshkumar T., Bagavan A., et al. Novel microbial route to synthesize ZnO nanoparticles using *Aeromonashydrophila* and their activity against pathogenic bacteria and fungi. *Spectrochimica Acta Part A: Molecular and*

- (10) Sarkar J., Ghosh M., Mukherjee A., Chattopadhyay D., Acharya K. Biosynthesis and safety evaluation of ZnOnanoparticles. *Bioprocess and biosystems engineering* 2014; 37(2): 165-171.
- (11) Baskar G., Chandhuru J., Fahad KS., Praveen AS. Mycological Synthesis, Characterization and Antifungal Activity of Zinc Oxide Nanoparticles. *Asian Journal of Pharmacy and Technology* 2013; 3(4): 142-146.
- (12) Bakrudeen HB., Sugunakshmi M., Reddy BS. Auto-fluorescent mesoporous ZnO nanospheres for drug delivery carrier application. *Materials Science and Engineering* 2015; 1(56): 335-340.
- (13) Hojati ST., Alaghemand H., HamzeF., Babaki FA., Rajab-Nia R., Rezvani MB., et al. Antibacterial, physical and mechanical properties of flowable resin composites containing zinc oxide nanoparticles. *Dental Materials* 2013; 29(5): 495-505.
- (14) Poornajar M., Marashi P., Fatmehsari DH., Esfahani MK. Synthesis of ZnOnanorods via chemical bath deposition method: The effects of physicochemical factors. *Ceramics International* 2016; 42(1): 173-184.
- (15) Sangeetha G., Rajeshwari S., Venkatesh R. Green synthesis of zinc oxide nanoparticles by *aloe barbadensis* miller leaf extract: Structure and optical properties. *Materials Research Bulletin* 2011; 46(12): 2560-2566.
- (16) Azizi S., Ahmad MB., Namvar F., Mohamad R. Green biosynthesis and characterization of zinc oxide nanoparticles using brown marine macroalga *Sargassum muticum* queous extract. *Materials Letters* 2014; 116: 275-277.
- (17) Samat NA., Nor RM. Sol-gel synthesis of zinc oxide nanoparticles using *Citrus aurantifolia* extracts. *Ceramics International* 2013; 39: S545-S548.
- (18) Suganya KU., Govindaraju K., Kumar VG., Dhas TS., Karthick V., Singaravelu G., et al. Blue green alga mediated synthesis of gold nanoparticles and its antibacterial efficacy against Gram positive organisms. *Materials Science and Engineering: C* 2015; 47: 351-356.
- (19) Ahmad R., Mohsin M., Ahmad T., Sardar M. Alpha amylase assisted synthesis of TiO₂ nanoparticles: structural characterization and application as antibacterial agents. *Journal of hazardous materials* 2015; 283: 171-177.
- (20) Jain N., Bhargava A., Tarafdar JC., Singh SK., Panwar J. A biomimetic approach towards synthesis of zinc oxide nanoparticles. *Applied microbiology and biotechnology* 2013; 97(2): 859-869.
- (21) Ashengroph M. Isolation and characterization of a native strain of *Aspergillus niger*ZRS14 with capability of high resistance to zinc and its supernatant application towards extracellular synthesis of zinc oxide nanoparticles. *Biological Journal of Microorganism* 2013; 2(7): 29-44.
- (22) Ashengroph M. Extracellular Synthesis of Silver Nanoparticles by *Ralstoniasp. SM8*Isolated from the Sarcheshmeh Copper Mine. *Biological Journal of Microorganism* 2014; 3(9): 53-64.
- (23) Selvarajan E., Mohanasrinivasan V. Biosynthesis and characterization of ZnO nanoparticles using *Lactobacillus plantarum* VITES07. *Materials Letters* 2013; 112: 180-182.
- (24) Raliya R., Tarafdar JC. ZnOnanoparticle biosynthesis and its effect on phosphorous-mobilizing enzyme secretion and gum contents in Clusterbean (*Cyamopsis tetragonoloba* L.). *Agricultural Research* 2013; 2(1): 48-57.
- (25) Ashengroph M. Fast and extracellular synthesis of zinc oxide nanocrystals using

- the novel isolated yeast strain *Candida* sp. MY2. *journal of cell and molecular research* 2014; 27(2): 155-166.
- (26) Niknezhad V., Asadollahi M., Biria D., Zamani A. Optimization of microbial production of xanthan gum by the bacterium *XanthomonasCampestris* using the hydrolyzed starch. *Biological Journal of Microorganism* 2013; 2(5): 1-10.
- (27) Huang N., Shu J., Wang Z., Chen M., Ren C., Zhang W. One-step pyrolytic synthesis of ZnO nanorods with enhanced photocatalytic activity and high photostability under visible light and UV light irradiation. *Journal of Alloys and Compounds* 2015; 648: 919- 929.
- (28) Ocakoglu K., Mansour SA., Yildirimcan S., Al-Ghamdi AA., El-Tantawy F., Yakuphanoglu F. Microwave-assisted hydrothermal synthesis and characterization of ZnO nanorods. *SpectrochimicaActa Part A: Molecular and Biomolecular Spectroscopy* 2015; 148: 362- 368
- (29) Amrutham S k., Maragoni V., Dasari A., Guttena V. Green synthesis, characterization and catalytic activity of palladium nanoparticles by xanthan gum. *Applied Nanoscience* 2015; 5: 315- 320.
- (30) Deep P, Sravani P, Hitesh K, Shyam S R, Ramakrishna S. Xanthan gum stabilized gold nanoparticles: Characterization, biocompatibility, stability and cytotoxicity. *Carbohydrate Polymers* 2014; 110:1-9.
- (31) Ting-Ting L., Mao-Hua W., Han-Ping Zh., Zhong-Yin Z. Sol-gel synthesis of doped nanocrystalline ZnO powders using xanthan gum and varistor properties study. *Journal of Materials Science: Materials in Electronics* 2015; 26: 9056-9062.
- (32) Xiangqian L, Huizhong X, Zhe-Sheng C, and Guofang C. Biosynthesis of nanoparticles by microorganisms and their applications. *Journal of Nanomaterials* 2011; 8: 16 pages: DOI=<http://dx.doi.org/10.1155/2011/270974>

-
- ¹- Wide Direct Band Gap
²- High Exciton Binding Energy
³-Chemical Vapor Deposition
⁴- Selvarjan
⁵- Ashengroph
⁶- *XanthomonasCampestris*
⁷- Yeast Extract Peptone Dextrose
⁸-Fourier Transform InfraredSpectroscopy
⁹- X-Ray Diffraction
¹⁰-Scanning Electron Microscopy
¹¹Energy Dispersive X-Ray Specroscopy
¹²-Ultraviolet Visible Spectroscopy
¹³- wurtzite